

STRUJNO OPTEREĆENJE KABLOVSKIH VODOVA 10 KV I UTICAJ NA IZBOR TIPSKOG PRESEKA

D. Tasić*, Elektronski fakultet, Niš, Srbija
M. Tanasković, PD Elektrodistribucija-Beograd, Beograd, Srbija
M. Stojanović, Elektronski fakultet, Niš, Srbija

UVOD

Zbog urbanističkih zahteva, a i potrebe za većom pouzdanošću, za gradske mreže se primenjuju kablovi. U velikom broju razvijenih zemalja, kod mreža srednjeg napona (SN), se koriste kablovi sa izolacijom od umreženog polietilena. Razvoj i primena ovih kablova naročito je izražena u poslednjih tridesetak godina [1,3]. Takođe, treba istaći da se još uvek u znatnoj meri koriste i kablovi sa izolacijom od impregnisanog papira. Činjenica da su se kablovi sa izolacijom od impregnisanog papira dugo održali u upotrebi govori o njihovoj velikoj pouzdanosti.

Umreženi polietilen ima mali faktor dielektričnih gubitaka ($\tg\delta=10^{-4}$ na 20°C i 50Hz), veliku dielektričnu čvrstoću, relativna dielektrična konstanta ($\epsilon_r=2.3\div2.5$) mu je manja u odnosu na druge izolacione materijale. Što se tiče topotnih karakteristika polietilen u poređenju sa drugim izolacionim materijalima ima najmanju vrednost specifične topotne otpornosti ($3\div3.5 \text{ Km/W}$). Pored toga, kod njega se dozvoljava temperatura provodnika od 90°C u normalnom pogonu i 130°C u nužnom pogonu. Nedostatak izolacije od umreženog polietilena je mala otpornost na mehanička oštećenja.

U upoređenju sa umreženim polietilenom impregnisani papir ima veću specifičnu topotnu otpornost (6Km/W) i manje dozvoljene temperature zagrevanja u normalnom (65°C) i nužnom ($95\div100^\circ\text{C}$) pogonu. Kao glavni nedostatak kablova sa izolacijom od impregnisanog papira ističe se mogućnost tečenja kompaunda. Ovaj nedostatak je delimično otklonjen korišćenjem izolacije od naročito impregnisanog papira (polučvrsti kompaund). S ovom izolacijom dozvoljava se temperatura zagrevanja u normalnom pogonu od $70\div85^\circ\text{C}$ i u nužnom pogonu 110°C .

Tehničkom preporukom Elektrodistribucija Srbije br. 3 [2] preporučuje se primena kablova tipa NPO 13-A i XHE 49-A preseka provodnika od 50, 95, 150 i 240 mm^2 za kablovske mreže nominalnog napona 10 kV.

* Prof. dr Dragan Tasić, dipl.inž.el, Elektronski fakultet, Aleksandra Medvedeva 14, 18000 Niš
tel. +381(0)18/529-110, +381(0)63/690-609, E-mail: dragan.tasic@elfak.ni.ac.rs

TERMIČKI DOZVOLJENA STRUJA KABLA U NORMALNOM POGONU

Termički dozvoljena struja kabla u stacionarnom režimu određena je trajno dozvoljenom temperaturom provodnika (odnosno izolacije). Pri određivanju ove struje moraju se pored konstruktivnih karakteristika kabla uvažiti i ambijentni uslovi u okolini kabla. Za kablove položene u zemlju potrebno je uvažiti činjenicu da dolazi do isušivanja zemljišta u neposrednoj blizini kabla, kao i da jedan sloj zemljišta blizu kabla prati promenu opterećenja dok je ostali deo inertan i zagreva se pomoću srednje snage gubitaka. Imajući ovo u vidu, a zanemarujući dielektrične gubitke u izolaciji kabla, dolazi se do sleće relacije za termički dozvoljenu struju kabla u stacionarnom režimu:

$$I = \sqrt{\frac{\theta_p - \theta_a + \frac{\rho_{zi} - \rho_z}{\rho_z} \Delta \theta_{xz}}{n R' (R_{Tki} + R_{Txy})}}, \quad (1)$$

gde je:

- θ_p - temperatura provodnika,
- θ_a - temperatura referentnog zemljišta (ambijenta),
- ρ_z - specifična topotna otpornost neisušenog zemljišta,
- ρ_{zi} - specifična topotna otpornost isušenog sloja zemljišta,
- $\Delta \theta_{xz}$ - pad temperature u neisušenom sloju zemljišta,
- n - broj provodnika kabla,
- R' - fiktivna električna otpornost provodnika na temperaturi θ_p ,
- R_{Tki} - fiktivna termička otpornost kabla za gubitke uslovljene strujom,
- R_{Txy} - termička otpornost kada je celokupno zemljište isušeno.

Pad temperature $\Delta \theta_{xz}$ u [5,6] se određuje u funkciji faktora opterećenja m pomoću relacije:

$$\Delta \theta_{xz} = 15 + \frac{100(1-m)}{3}. \quad (2)$$

Fiktivna električna otpornost provodnika kabla je:

$$R' = R(1 + \lambda_{mo} + \lambda_{ar}), \quad (3)$$

gde je R električna otpornost provodnika za naizmeničnu struju na temperaturi θ_p , λ_{mo} odnos snage gubitaka u metalnom omotaču usled cirkulacione struje i snage gubitaka u provodniku kabla, a λ_{ar} odnos snage gubitaka u metalnoj armaturi i snage gubitaka u provodniku kabla.

Fiktivna termička otpornost kabla za gubitke uslovljene strujom određuje se pomoću relacije:

$$R_{Tki} = \frac{\frac{R_{T1}}{n} + (1 + \lambda_{mo}) R_{T2}}{1 + \lambda_{mo} + \lambda_{ar}} + R_{T3}, \quad (4)$$

pri čemu su sa R_{T1} , R_{T2} i R_{T3} obeležene termičke otpornosti izolacije, sloja između metalnog omotača i mehaničke zaštite i omotača mehaničke zaštite respektivno.

Termička otpornost kada je celokupno zemljište isušeno [6,7] je:

$$R_{Txy} = \frac{\rho_{zi}}{2\pi} \left\{ \ln k + (\mu - 1) \ln k_y + \sum_{i=1}^{n_y} \chi_i \left[\ln \frac{a'_{ik}}{a_{ik}} + (\mu_i - 1) \ln k_y \right] + \sum_{i=n_y+1}^n \chi_i \mu_i \ln \frac{a'_{ik}}{a_{ik}} \right\}, \quad (5)$$

gde je:

- k - faktor geometrije kabla,
- k_y - faktor geometrije sloja zemljišta koji prati promenu opterećenja,
- n_y - broj kablova koji se nalaze pored razmatranog kabla unutar kruga prečnika d_y ,
- n - ukupan broj kablova koji se nalaze pored razmatranog kabla,
- μ_i - faktor gubitaka i -tog kabla,
- χ_i - odnos gubitaka snage i -tog i razmatranog kabla,
- a_{ik} - rastojanje između razmatranog i i -tog kabla,

a'_{ik} - rastojanje između razmatranog kabla i lika i -tog kabla,

Faktor geometrije kabla zavisi od dubine polaganja kabla u zemlju i njegovog prečnika. Koristeći teoremu preslikavanja [4,5,6] dolazi se do sledeće relacije:

$$k = \frac{2h}{d_k} + \sqrt{\left(\frac{2h}{d_k}\right)^2 - 1} \approx \frac{4h}{d_k}, \quad (6)$$

gde je h dubina polaganja kabla u zemlju, a d_k prečnik kabla.

Faktor geometrije k_y se određuje pomoću relacije koja je identična relaciji (6), samo umesto prečnika kabla d_k treba staviti prečnik sloja zemljišta koje "prati" promenu opterećenja d_y .

Prečnik sloja zemljišta d_y koje "prati" promenu opterećenja u velikoj meri zavisi od oblika dijagrama opterećenja. U ovim analizama dnevni dijagram opterećenja se često ekvivalentira pravougaonikom ili sinusoidom. Za ova dva karakteristična oblika u literaturi [5] postoje odgovarajuće relacije pomoću kojih se izračunava prečnik d_y . Ipak, ova dva karakteristična slučaja ekvivalentiranja dnevnog dijagrama opterećenja isuviše su idealizovana. Zbog toga je za određivanje prečnika d_y pogodno koristiti hibridnu relaciju koja uključuje delimično i pravougaoni i sinusni oblik dijagrama dnevnog opterećenja [5,6,7]:

$$d_y = \frac{0.103 + 0.246\sqrt{\mu}}{\sqrt{f_t} \rho_z^{0.4}}, \quad (7)$$

gde je μ faktor gubitaka a f_t učestanost promene opterećenja (za dnevni dijagram opterećenja često se može uzeti da je $f_t=1$). U ovoj formuli je ρ_z u Km/W a d_y u metrima.

Faktor gubitaka μ se izračunava pomoću faktora opterećenja m . Poznato je više relacija koje daju vezu između μ i m a jedna od njih je:

$$\mu = 0.3m + 0.7m^2. \quad (8)$$

Ukoliko ne dolazi do isušivanja zemljišta u svim prethodnim relacijama treba umesto ρ_{zi} staviti ρ_z .

Takođe, u slučaju da se razmatra konstantno opterećenje treba uzeti da je $\mu = 1$.

Korišćenjem postupaka za proračun termički dozvoljene struje kabla analizirana je mogućnost strujnog opterećenja trožilnih kablova NPO 13-A, 10 kV preseka 150 mm^2 i 240 mm^2 i jednožilnih kablova XHE 49-A, 10kV preseka 120 mm^2 , 150 mm^2 i 240 mm^2 . Za temperaturu referentne zemlje uzimane su vrednosti od 8°C (srednja vrednost temperature u zimskom periodu) i 20°C (vrednost koja odgovara letnjem periodu). Pored toga, uvaženo je da je dijagram opterećenja promenljiv pri čemu je kod proračuna korišćena vrednost za faktor opterećenja: $m=0.7$. Pri proračunu je za temperaturu provodnika u normalnom pogonu θ_p korišćena vrednost od 65°C za kable NPO 13-A, a za kable XHE 49-A vrednost od 90°C .

TABELA 1. Strujna opteretljivost kablova tipa NPO i XHE 10 kV u grupi od 5 kablova, odnosno 5 kablovska sistema pri temperaturi zemlje $\theta_a = 8^\circ\text{C}$

Tip Kabla	Intenzitet termički trajno dozvoljene struje I_{td} [A]	
	$\rho_{zi} = 2,5 \text{ Km/W}$	Bez isušivanja
NPO 13-A, $3 \times 150 \text{ mm}^2$	191,8	215,7
NPO 13-A, $3 \times 240 \text{ mm}^2$	250,0	282,8
XHE 49-A, $3 \times (1 \times 120 \text{ mm}^2)$	194,4	246,9
XHE 49-A, $3 \times (1 \times 150 \text{ mm}^2)$	216,9	275,6
XHE 49-A, $3 \times (1 \times 185 \text{ mm}^2)$	244,6	312,2
XHE 49-A, $3 \times (1 \times 240 \text{ mm}^2)$	283,3	362,7

Pošto se u realnim situacijama javljaju slučajevi gde se na izlazu iz odgovarajuće transformatorske stanice u rov polaže i do 5 kablova, odnosno 5 kablovska sistema (pod kablovskim sistemom se ovde

podrazumeva skup od tri jednožilna kabla postavljena u snopu), to su u Tab.1. i Tab.2. dati podaci o mogućem strujnom opterećenju pomenutih kablova za takav slučaj. Pri proračunu je smatrano da je rastojanje između kablova, odnosno kablovskih sistema 7cm. U tabelama su date vrednosti za slučaj kada se uvažava isušvanje zemljišta ($\rho_{zi}=2,5$ Km/W), kao i za slučaj bez isušivanja ($\rho_{tz}=1$ Km/W). U slučajevima kada nema isušivanja zemljišta podrazumeva se korišćenje specijalne posteljice, tako da njena specifična tolpotna otpornost ne pređe 1 Km/W.

TABELA 2. Strujna opteretljivost kablova tipa NPO i XHE 10 kV u grupi od 5 kablova, odnosno 5 kablovska sistema pri temperaturi zemlje $\theta_a = 20^\circ\text{C}$

Tip Kabla	Intenzitet termički trajno dozvoljene struje I_{td} [A]	
	$\rho_{zi} = 2,5$ Km/W	bez isušivanja
NPO 13-A, 3×150 mm ²	179,2	191,7
NPO 13-A, 3×240 mm ²	233,6	251,2
XHE 49-A, 3x(1×120 mm ²)	184,3	228,1
XHE 49-A, 3x(1×150 mm ²)	205,7	254,6
XHE 49-A, 3x(1×185 mm ²)	232,0	288,4
XHE 49-A, 3x(1×240 mm ²)	268,7	335,1

Na osnovu podataka datih u Tab.1. i Tab.2 se zaključuje da su sa aspekta strujne opteretljivosti u normalnom pogonu saglasni kablovi NPO 13-A 3×240 mm² i XHE 49-A 1×185 mm², kao i kablovi NPO 13-A 3×150 mm² i XHE 49-A 1×120 mm². U slučajevima kada bi se koristila specijalna posteljica može se konstatovati da su sa aspekta strujne opteretljivosti u normalnom pogonu, saglasni kablovi NPO 13-A 3×240 mm² i XHE 49-A 1×150mm², dok je mogućnost strujnog opterećivanja kablova XHE 49-A 1×120 mm² znatno iznad mogućnosti opterećivanja kablova NPO 13-A 3×150 mm².

TABELA 3. Strujna opteretljivost pojedinih kablova tipa NPO i XHE 10 kV položenih pojedinačno,odnosno u jednom kablovskom sistemu, pri temperaturi zemlje $\theta_a = 8^\circ\text{C}$

Tip Kabla	Intenzitet termički trajno dozvoljene struje I_{td} [A]	
	$\rho_{zi} = 2,5$ Km/W	bez isušivanja
NPO 13-A, 3×150 mm ²	264,4	291,5
XHE 49-A, 3x(1×120 mm ²)	298,4	364,6
XHE 49-A, 3x(1×150 mm ²)	333,2	407,2

TABELA 4. Strujna opteretljivost pojedinih kablova tipa NPO i XHE 10 kV položenih pojedinačno, odnosno u jednom kablovskom sistemu, pri temperaturi zemlje $\theta_a = 20^\circ\text{C}$

Tip Kabla	Intenzitet termički trajno dozvoljene struje I_{td} [A]	
	$\rho_{zi} = 2,5$ Km/W	bez isušivanja
NPO 13-A, 3×150 mm ²	246,0	259,0
XHE 49-A, 3x(1×120 mm ²)	283,0	336,9
XHE 49-A, 3x(1×150 mm ²)	316,0	376,2

U tabelama 3 i 4 dati su intenziteti struje pri pojedinačnom polaganju. Rezultati dati u ovim tabelama idu u prilog korišćenju kabela XHE 49-A 3x(1×120 mm²) umesto do sada u [2] usvojenog kabela XHE 49-A 3x(1×150 mm²).

TERMIČKI DOZVOLJENA STRUJA KABLA U NUŽNOM POGONU

Pod nužnim pogonom kablova podrazumeva se stanje kada je on znatno strujno opterećen, pri čemu temperatura provodnika prelazi trajno dozvoljenu vrednost. Termički dozvoljena struja u nužnom pogonu [6,8,9, 10,11] određuje se pomoću sledeće relacije:

$$I = I_R \left[\frac{h^2 R_1}{R_{\max}} + \frac{(R_R / R_{\max})(r - (h^2 R_1 / R_R))}{\vartheta_R(t) / \vartheta_R(\infty)} \right]^{1/2}, \quad (9)$$

gde je:

$$h = I_1 / I_R,$$

$$r = \vartheta_{\max} / \vartheta_R(\infty),$$

I_1 - intenzitet struje neposredno pre nastanka nužnog pogona,

I_R - intenzitet struje sa kojom se u konkretnim uslovima polaganja kablova postiže dozvoljena temperatura provodnika u normalnom pogonu (θ_p),

R_1 - električna otpornost provodnika kabla na temperaturi koja se dostiže pri opterećenju strujom intenziteta I_1 ,

R_R - električna otpornost provodnika kabla na temperaturi koja se dostiže pri opterećenju strujom intenziteta I_R , tj. na temperaturi θ_p ,

R_{\max} - električna otpornost provodnika kabla na temperaturi koja se dostiže na kraju nužnog pogona (θ_{\max}), odnosno otpornost provodnika na maksimalno dozvoljenoj temperaturi provodnika u nužnom pogonu

ϑ_{\max} - maksimalna nadtemperatura provodnika, tj. razlika između temperature θ_{\max} i temperature ambijenta θ_a ($\vartheta_{\max} = \theta_{\max} - \theta_a$),

$\vartheta_R(t)$ - nadtemperatura provodnika koja bi se dospila za vreme t pri opterećenju strujom intenziteta I_R ,

$\vartheta_R(\infty)$ - vrednost nadtemperature provodnika ϑ_R , u stacionarnom stanju ($\vartheta_R(\infty) = \theta_p - \theta_a$),

t - vreme trajanja nužnog pogona.

Do relacije (9) dolazi se pod pretpostavkom da je kabl pre nastanka nužnog pogona dovoljno dugo bio opterećen strujom intenziteta I_1 , kao i da se na kraju nužnog pogona dospile maksimalno dozvoljena temperatura θ_{\max} .

Električne otpornosti R_1 i R_{\max} se relativno jednostavno određuju znajući vrednost električne otpornosti provodnika R_R na temperaturi θ_p i temperaturni koeficijent promene električne otpornosti. Za određivanje električne otpornosti R_1 treba znati temperaturu θ_1 koja se postiže pri opterećenju strujom intenziteta I_1 . Ova temperatura se može odrediti iterativnim putem koristeći postupak za proračun termički trajno dozvoljene struje.

Nadtemperatura provodnika koja bi se dospila za vreme t pri opterećenju strujom intenziteta I_R [6,9,10] određuje se pomoću relacije:

$$\vartheta_R(t) = \frac{\vartheta_p(t)}{1 + \frac{1}{\frac{1}{\alpha_0} + \theta_i} (\vartheta_R(\infty) - \vartheta_p(t))}, \quad (10)$$

gde je:

α_0 - temperaturni koeficijent promene električne otpornosti provodnika na 0°C ,

θ_i - temperatura provodnika koja je prethodila nužnom pogonu.

$\vartheta_p(t)$ - nadtemperatura provodnika koja bi se dospila za vreme t strujom intenziteta I_R , pod uslovom da je električna otpornost provodnika konstantna i jednakna otpornosti na temperaturi θ_p .

Za određivanje nadtemperature $\vartheta_p(t)$ u [6,9,10] se koristi sledeća relacija:

$$\vartheta_p(t) = \vartheta_{p0}(t) + A(t) \vartheta_k(t), \quad (11)$$

gde je:

$\vartheta_{p0}(t)$ - razlika temperatura provodnika i spoljne površine kabla u trenutku t ,

$\vartheta_k(t)$ - razlika temperatura spoljne površine kabla i ambijenta (nadtemperatura kabla) u trenutku t ,

$A(t)$ - faktor temperaturnog dosega (attainment factor).

Razlika između temperature provodnika i temperature spoljne površine kabla (tj. nadtemperatura provodnika u odnosu na spoljnu površinu kabla) u trenutku t data je relacijom:

$$\vartheta_{p0}(t) = P_p \left[T_a \left(1 - e^{-at} \right) + T_b \left(1 - e^{-bt} \right) \right] . \quad (12)$$

U ovoj relaciji je se P_p obeležena snaga gubitaka u provodniku kabla, sa T_a i T_b odgovarajuće termičke otpornosti, dok su a i b konstante. Termičke otpornosti T_a i T_b , kao i konstante a i b , zavise od konstrukcije kabla. Postupak za njihovo izračunavanje je detaljno izložen u [6,9,10,11], te se zbog toga ovde ne navodi.

Faktor temperaturnog dosega $A(t)$ (attainment factor) predstavlja odnos nadtemperaturе $\vartheta_{p0}(t)$ i nadtemperaturе $\vartheta_{p0}(\infty)$ koja odgovara stacionarnom stanju, tj.

$$A(t) = \frac{\vartheta_{p0}(t)}{\vartheta_{p0}(\infty)} = \frac{\vartheta_{p0}(t)}{P_p(T_a + T_b)} . \quad (13)$$

Nadtemperatura spoljne površine kabla $\vartheta_k(t)$, tj. razlika temperatura spoljne površine kabla i ambijenta u trenutku t [6,8,9] može se odrediti pomoću sledeće relacije:

$$\vartheta_k(t) = \frac{P \rho_z}{4\pi} \left\{ -Ei\left(-\frac{d_k^2}{16Dt}\right) + Ei\left(-\frac{h^2}{Dt}\right) + \sum_{i=1}^n \left[-Ei\left(-\frac{a_{ik}^2}{4Dt}\right) + Ei\left(-\frac{a'_{ik}^2}{4Dt}\right) \right] \right\} \quad (14)$$

gde je:

P - ukupna snaga gubitaka u kablu,

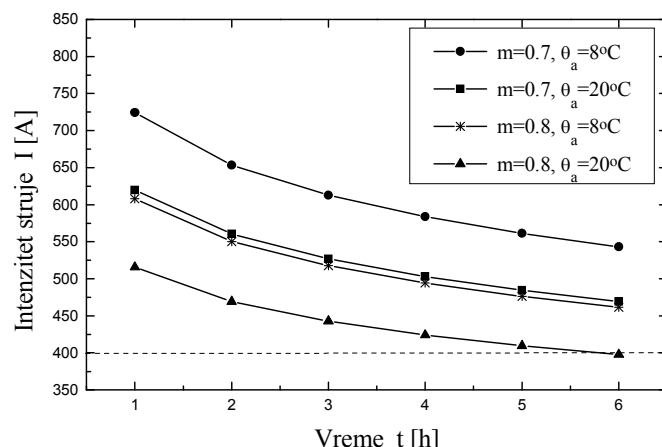
D - topotna difuzivnost zemljišta,

$Ei(-x)$ - integral eksponencijalne funkcije.

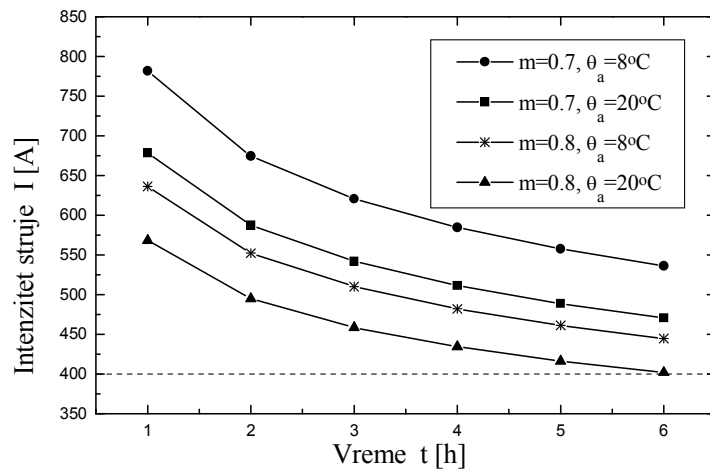
Topotna difuzivnost zemljišta zavisi od specifične termičke otpornosti zemljišta i njene vrednosti su date u [8,9]. Integral eksponencijalne funkcije se relativno jednostavno izračunava koristeći odgovarajuće polinome [12].

Korišćenjem predhodno izloženog postupka određene su zavisnosti intenziteta struje od vremena trajanja nužnog pogona, za različite ambijentne uslove i za različita strujna opterećenja, koje su prikazane slikama 1-4. Kod proračuna strujnog opterećenja u nužnom pogonu za specifičnu topotnu otpornost isušene zemlje je uzeta vrednost od 2.5 Km/W, za temperaturu provodnika kod kablova sa impregnisanim papirom vrednost od 105°C, a kablova sa umreženim polietilenom vrednost od 130 °C.

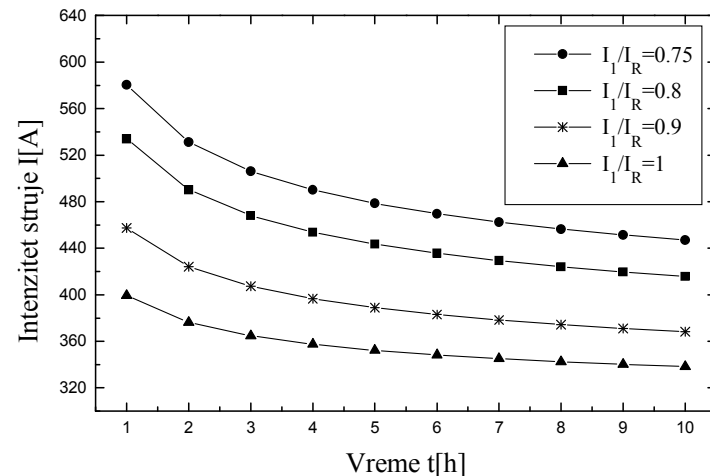
Na sl.1 prikazana je zavisnost intenziteta struje kabla NPO 13-A 3×240 mm² od vremena trajanja nužnog pogona u grupi od 5 kablova koji su pre nastanka nužnog pogona bili opterećeni sa $I=200A$ pri $\rho_z=2.5$ Km/W. Pošto je sa aspekta strujne opteretljivosti u normalnom pogonu kablu NPO 13-A 3×240 mm² saglasan kabl XHE 49-A 1×185 mm², to je na sl.2 prikazana zavisnost intenziteta struje ovog kabla od vremena trajanja nužnog pogona u grupi od 5 kablovska sistema. I ovde je uzeto da je opterećenje kablova pre nužnog pogona iznosilo 200 A. S obzirom da je prepostavljeno opterećenje pre nastanka nužnog pogona bilo 200 A to se kod koncepcije SN mreža sa otvorenim prstenovima i međupoveznim vodovima u nužnom pogonu može očekivati opterećenje od 400 A. Sa slike 1 i 2 se vidi da opterećenje u nužnom pogonu od 400 A mogu da izdrže i kablovi NPO 13-A 3×240 mm² i kablovi XHE 49-A 1×185 mm². Pri tome je prepostavljeno da nužni pogon ne traje duže od 6 h.



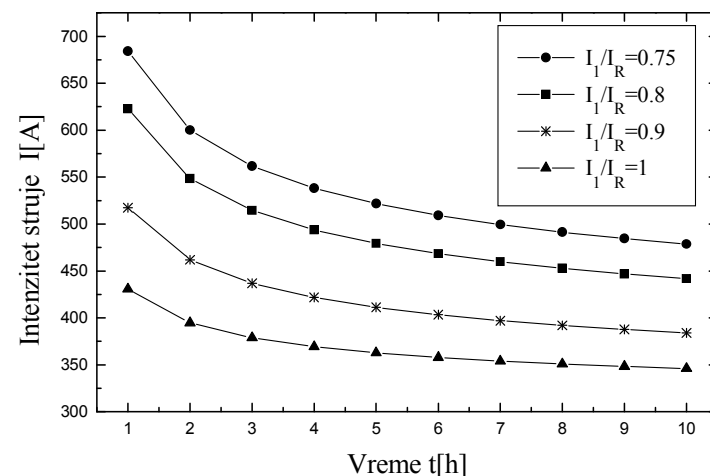
Sl.1. Zavisnost intenziteta struje kabla NPO 13-A 3×240 mm² od vremena trajanja nužnog pogona u grupi od 5 kablova koji su pre nastanka nužnog pogona bili opterećeni sa $I=200A$ pri $\rho_z=2.5$ Km/W



SI.2. Zavisnost intenziteta struje kabla XHE 49-A $3 \times (1 \times 185 \text{ mm}^2)$ od vremena trajanja nužnog pogona u grupi od 5 kablovska sistema koji su pre nastanka nužnog pogona bili opterećeni sa $I=200\text{A}$ pri $\rho_z=2.5 \text{ Km/W}$



SI.3. Zavisnost intenziteta struje kabla NPO 13-A $3 \times 150 \text{ mm}^2$ od vremena trajanja nužnog pogona za različita opterećenja pre nastanka nužnog pogona pri $m=0.8$, $\theta_a = 8^\circ\text{C}$, $\rho_z=2.5 \text{ Km/W}$ i pojedinačnom postavljanju



SI.4. Zavisnost intenziteta struje kabla XHE 49-A $1 \times 120 \text{ mm}^2$ (tri kabla postavljena u snopu) od vremena trajanja nužnog pogona za različita opterećenja pre nastanka nužnog pogona pri $m=0.8$,

$$\theta_a = 8^\circ\text{C} \text{ i } \rho_z=2.5 \text{ Km/W}$$

Radi boljeg uvida u mogućnost eksploatacije kablova XHE 49-A $1 \times 120 \text{ mm}^2$ i NPO 13-A $3 \times 150 \text{ mm}^2$ na slikama 3 i 4 su date zavisnosti intenziteta struje ovih kablova od vremena trajanja nužnog pogona pri pojedinačnom polaganju. Sa slike se vidi da su uzimana u obzir različita opterećenja u normalnom pogonu pri faktoru opterećenja $m=0.8$, temperaturi zemljišta $\theta_a = 8^\circ\text{C}$ i specifičnoj topotnoj otpornosti isušene zemlje $\rho_z=2.5 \text{ Km/W}$. Vidi se da što je manje opterećenje u normalnom pogonu to je veća mogućnost opterećenja u nužnom pogonu. Ovo je posledica niže temperature provodnika pri manjem opterećenju u normalnom pogonu, odnosno većeg dozvoljenog temperaturnog porasta (do θ_{max}) u nužnom pogonu.

ZAKLJUČAK

U radu su analizirana strujna opterećenja trožilnih kablova tipa NPO 13-A, 10 kV preseka 150 mm^2 i 240 mm^2 , kao i jednožilnih kablova XHE 49-A, 10 kV preseka 120 mm^2 , 150 mm^2 i 185 mm^2 u normalnom i nužnom pogonu. Pokazuje se da kablovi imaju znatnu mogućnost strujnog opterećivanja u nužnom pogonu, što znači da se može dozvoliti njihovo veće opterećivanje u normalnom pogonu u odnosu na postojeću praksu.

Takođe, iz predhodno izloženog možemo zaključiti da umesto do sada usvojenih tipskih preseka kablova u [2], za kable sa čvrstim dielektrikom, tipa XHE 49-A, treba za uobičajene uslove polaganja bez specijalne posteljice usvojiti za grupno polaganje presek od 185 mm^2 , odnosno za pojedinačno polaganje presek 120 mm^2 . Naime, pored ekonomskih razloga za izmenu usvojenih tipskih preseka u [2] za kable tipa XHE 49-A, 10kV, dosadašnja primena ovih kablova preseka 150 mm^2 (240 mm^2) vodila je ka čestim zahtevima za promenu prenosnog odnosa strujnih mernih transformatora. Pored toga, ukoliko se ne bi preispitala primene preseka 150 mm^2 (240 mm^2) kod kablova tipa XHE 49-A, 10kV, neminovno je da bi se s obzirom na prenosni kapacitet morao preispitati i optimalni broj izvoda na SN strani u TS VN/SN.

LITERATURA

- [1] Nikolajević S., "Tendencija razvoja mreže srednjeg napona", XV Simpozijum o kablovima, R III-04, Novi Sad, 1998.
- [2] ***, Tehnička preporuka br.3, Elektroistribucija Srbije, oktobar 1991.
- [3] Rajaković N., Tasić D., Distributivne i industrijske mreže, Elektrotehnički fakultet i Akademска misao, Beograd, 2008.
- [4] ***, Calculation of the Continuous Current Rating of Cables, IEC Publication 287, 1982.
- [5] Heinhold L., Power Cables and Their Application, Siemens Aktiengesellschaft, Berlin, 1990.
- [6] Tasić D., Osnovi elektroenergetske kablovske tehnike, Edicija Osnovni udžbenici, Elektronski fakultet, Niš, 2001.
- [7] Tasić D., Rajaković N., "Uticaj promenljivog opterećenja i isušivanja zemljišta na intenzitet termički trajno dozvoljene struje kabla", XIV Simpozijum o kablovima, R.3.03, Jagodina, 1996.
- [8] S. Y. King, N. A. Halfter, Underground Power Cables, Longman, London, 1982.
- [9] ***, Calculation of the cyclic and emergency current rating of cables. Part 2, IEC Publication 853-2, 1989
- [10] Lalević B., Tanasković M., "Strujna opteretljivost visokonaponskih kablova u nužnom pogonu", Elektroistribucija, br.3, 1993., str.219-233.
- [11] Tasić D., Rajaković N., "Strujna opteretljivost kablova distributivnih mreža u nužnom pogonu", XVI Međunarodni simpozijum o kablovima", R.5.02, Sokobanja, 2000.
- [12] Abramowitz M., Stegun I., Handbook of Mathematical Functions, Dover Publications, INC., New York, 1972.